

日本钢管

早稲田大学

早稲田大学

正員 ○佐藤卓雄

正員 平嶋政治

学生員 奥山勉

1. まえがき

従来、我々の研究室においては、薄肉箱げたに配置される中間ダイアフラムの配置間隔の算定方法を、提案してきた。その際、断面変形に伴い薄肉箱げたの内部に生じる応力の計算には、ウラソフの閉断面理論を用いている。¹⁾
 また、ウラソフの閉断面理論より導かれる断面変形に関する微分方程式と、弾性支床上のはりの変形に関する基本式との相似性に注目し、剛比パラメータを導入している。²⁾これらの剛比パラメータを基礎に、箱げたの挙動を解析し、中間ダイアフラム間隔を算定するための資料を提出した。^{3) 4)}本報告においては、薄肉箱げたの断面変形問題が、剛比パラメータにより合理的に取り扱えることに注目し、最大そり応力と剛比パラメータの関係を用いて、模型箱げたの寸法を決定した。模型実験は、断面変形が純粹に取り出されるかたちで荷重をかけ、実験値と理論値を比較・検討し、剛比パラメータの合理性を確認した。

2. 実験概要

試験体は、図-2に示すものを用いた。断面寸法は、 7×8 、 15×17 の2種、試験体の材質は、真ちゅう (7×8 断面: $E = 9.55 \times 10^5 \text{ kg/cm}^2$, $\nu = 0.348$, 15×17 断面: $E = 9.57 \times 10^5 \text{ kg/cm}^2$, $\nu = 0.324$) である。フランジ、ウェブ、端・中間ダイアフラムの結合は、ダイアフラム間隔、境界条件の影響を観察するために、取りはずし可能なビス止めとした。

実験は、図-1に示すように、両端で箱げたの回転のみを拘束し、さらに、そり拘束を行なう場合は、端ダイアフラムを取り付けた。載荷方法は、箱げたの中央に、エアーシリンダーにより対角方向の引張り荷重を作用させ、断面変形を起こさせるものとした。そして、中間ダイアフラムは種々の剛比パラメータの値に対する実験結果を得るために、表-1に示すように配置した。

3. 実験結果

実験値と、ウラソフの閉断面理論による理論値との比較は、板厚中心面の単位断面変形モーメント (Quer-bimoment)当たりのそり応力によって行なった。ここで、実験値とは、ウェブ、フランジの表裏にはったストレインゲージの読みの平均値である。なお、せん断応力、板曲げ応力の比較も、これに付随して行なった。

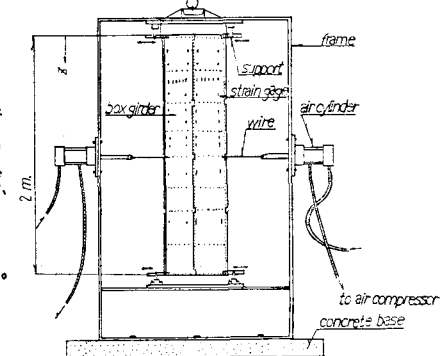


図-1 実験装置

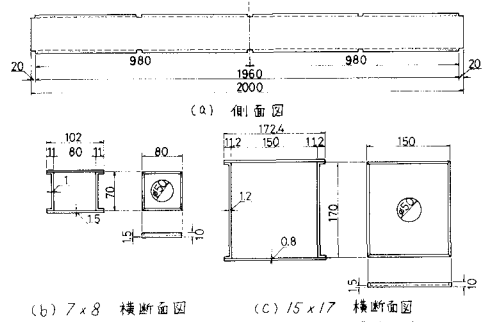
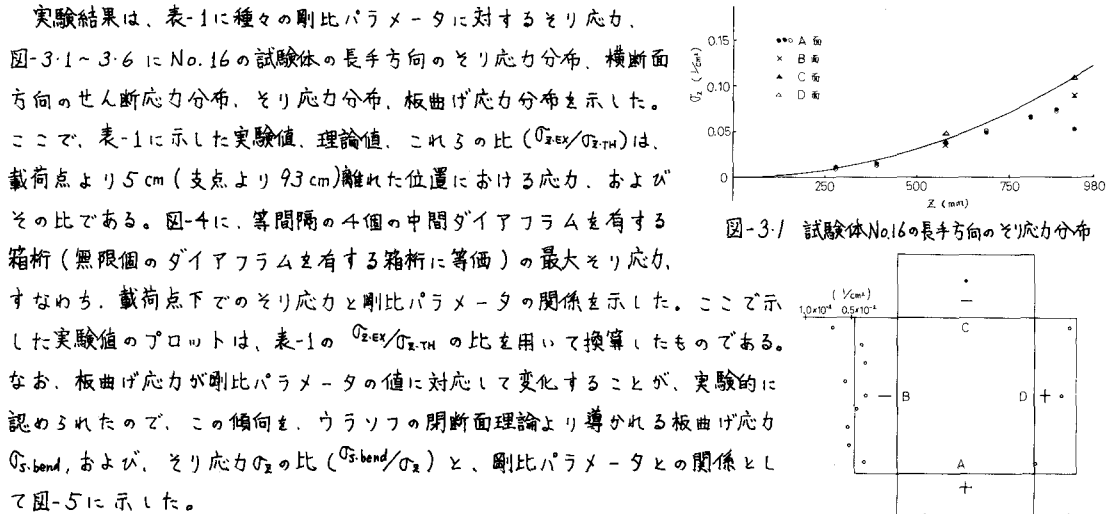


図-2 試験体寸法図

表-1 実験結果

実験NO.	断面寸法	剛比パラメータ	境界条件	中間ダイアフラム間隔 (mm)	単位断面変形モーメント当たりの応力	
					実験値 $\sigma_{\text{exp}} / \text{kg/cm}^2$	理論値 $\sigma_{\text{theor}} / \text{kg/cm}^2$
1.	715×81	1.45	*	1	0.126	0.127
2.	*	1.45	0	380.000 [400.000] 380	0.120	0.129
3.	*	2.41	1	647.166 [667]	0.208	0.224
4.	*	2.41	0	647.166 [667]	0.217	0.229
5.	*	2.08	1	380.150 [392.5]	0.187	0.204
6.	*	2.08	0	632.150 [632.5]	0.185	0.207
7.	*	3.69	1	420.100 [420]	0.234	0.250
8.	*	3.69	0	470.100 [470]	0.211	0.257
9.	*	7.10	1	990	0.216	0.214
10.	*	7.10	0	990	0.197	0.221
11.	1512×708	0.45	1	380.000 [400.000]	0.0213	0.0237
12.	*	0.45	0	380.000 [400.000]	0.0209	0.0240
13.	*	0.75	1	647.166 [667]	0.0393	0.0473
14.	*	0.75	0	647.166 [667]	0.0567	0.0706
15.	*	2.21	1	1960	0.150	0.198
16.	*	2.21	0	1960	0.0854	0.109

* 0: そり拘束なし 1: そり拘束あり



4. 結論

- 1) バイモーメント荷重、およびずり荷重に対するウラソフの閉断面理論の妥当性は、これまでにも確かめられているが、本報告のように薄肉箱桁の横断面の対角線方向に荷重をかけた場合、すなわち断面変形のみを起こす荷重をかけた場合にも、ウラソフの閉断面理論に基づく計算値と実験値との間の誤差は、10%前後の範囲内にはいることが、一般性をもって確かめられた。
- 2) 横断面内に生ずる平均せん断応力の分布や、横方向の板曲げ応力の分布についても、ウラソフの閉断面理論が有効であることが確かめられた。
- 3) 断面変形に伴う最大そり応力と剛比パラメータの関係が、実験的に確かめられた。
- 4) 剛比パラメータにより、断面変形に伴う板厚中心面上のそり応力と横方向板曲げ応力とが、明確に関係づけられた。

参考文献

- 1) W.Z.Wlassow: Dünnewandige elastische Stäbe
- 2) M.Hirashima und S.Yajima: JSCE, No.264, AUG. 1977
S.113～123
- 3) 五味、矢島、平嶋
土木学会第32回年次学術
講演概要集PP.49～50
- 4) 矢島、五味、平嶋
土木学会第32回年次学術
講演概要集PP.43～44
- 5) 夏村、坂井
土木学会論文報告集
第190号 1971年6月PP.23～36

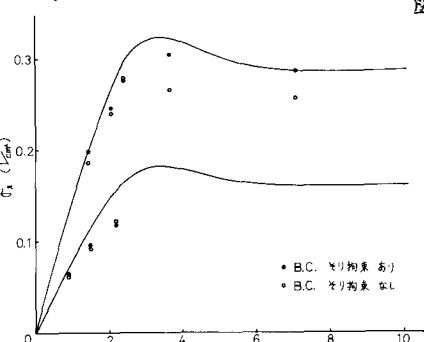


図-4 最大そり応力 σ_z と η_z の関係

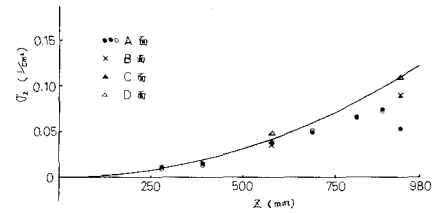


図-3-1 試験体No.16の長手方向のそり応力分布

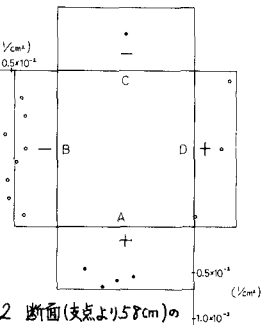


図-3-2 断面(支点より58cm)のせん断応力分布

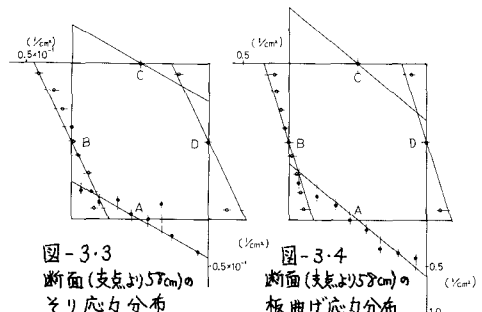


図-3-3
断面(支点より58cm)のそり応力分布

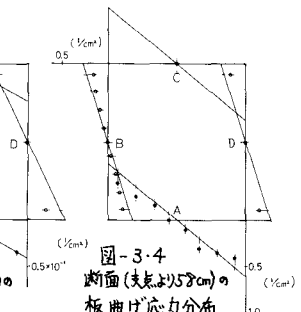


図-3-4
断面(支点より58cm)の板曲げ応力分布

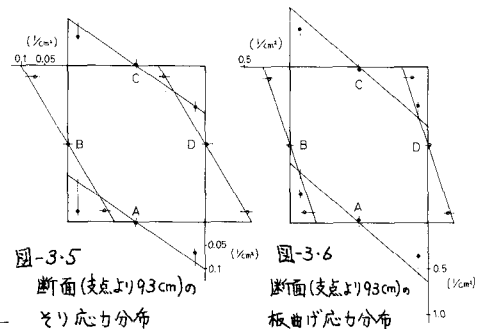


図-3-5
断面(支点より93cm)のそり応力分布

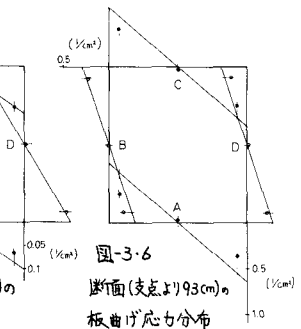


図-3-6
断面(支点より93cm)の板曲げ応力分布

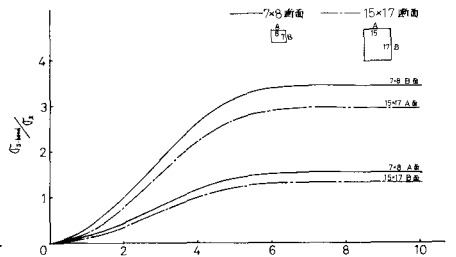


図-5 $\sigma_{s,bend}/\sigma_z$ と η_z との関係